

Fig.1

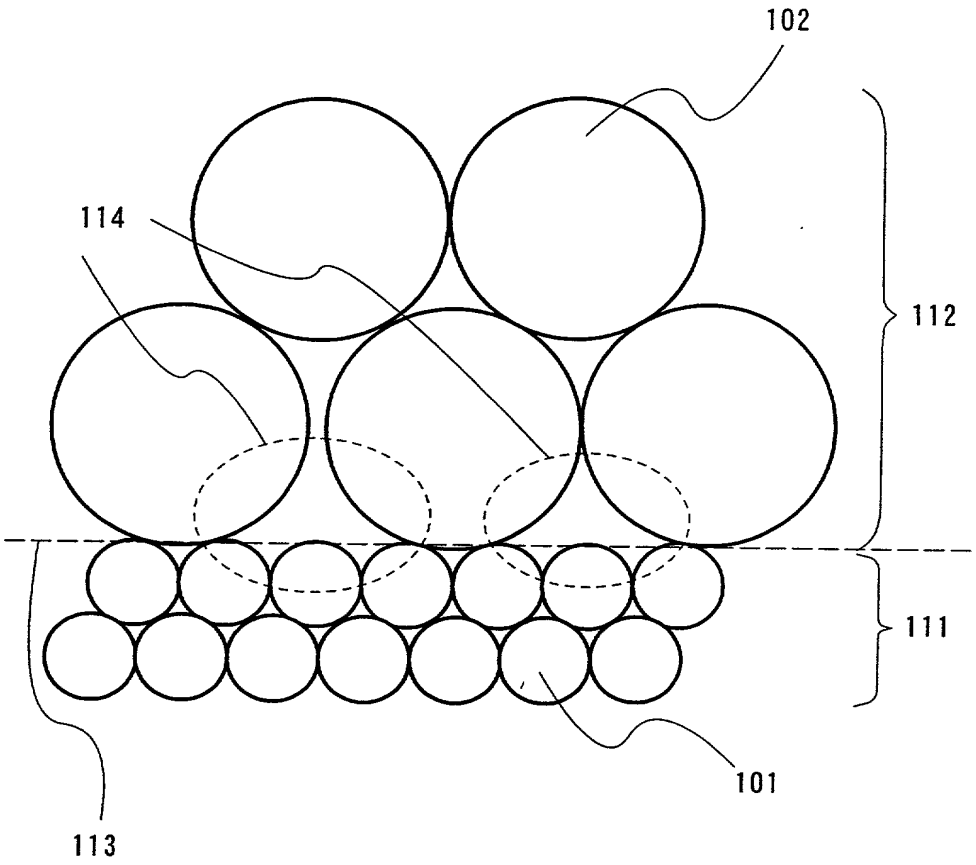


Fig.2

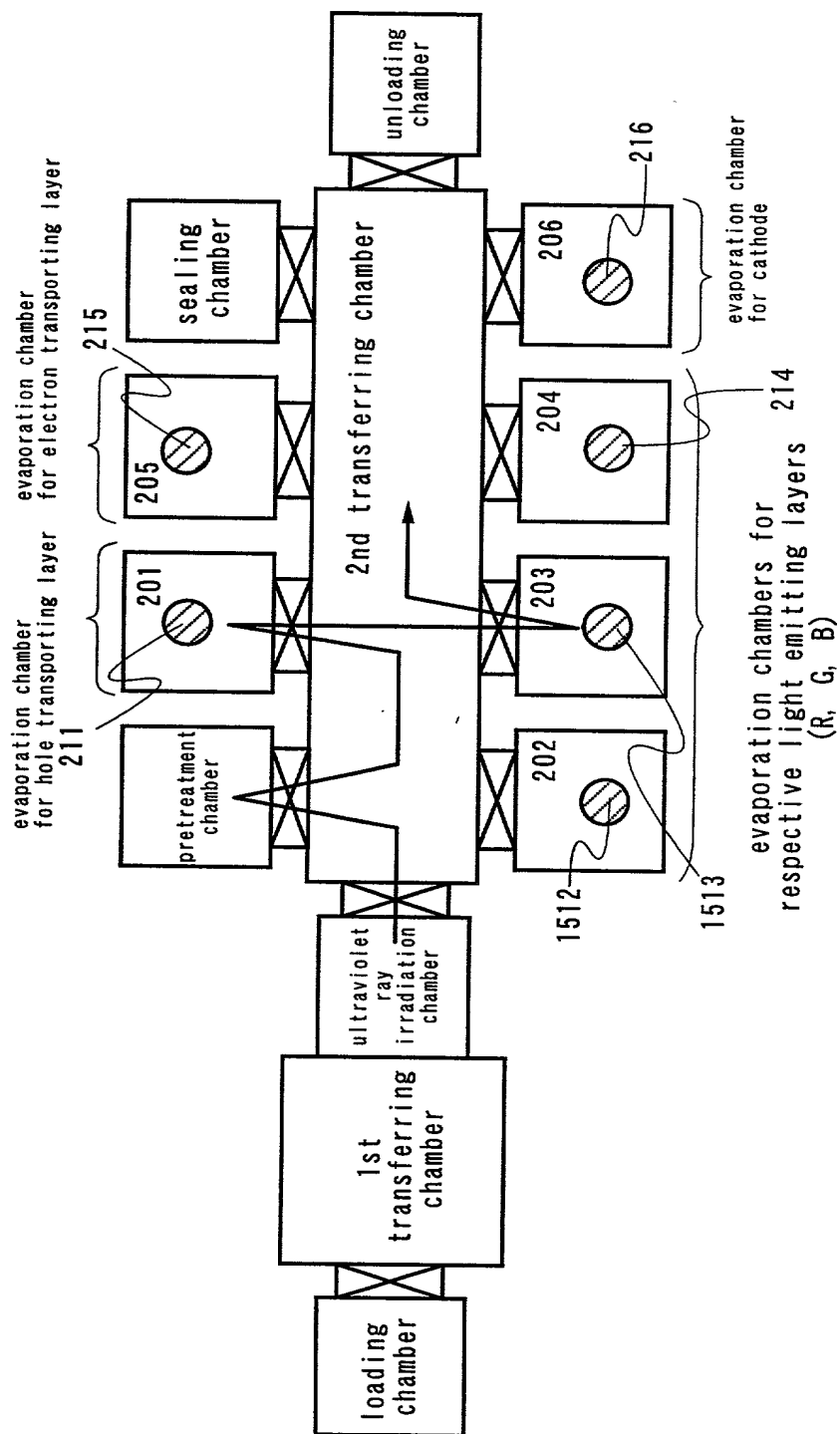


Fig.3

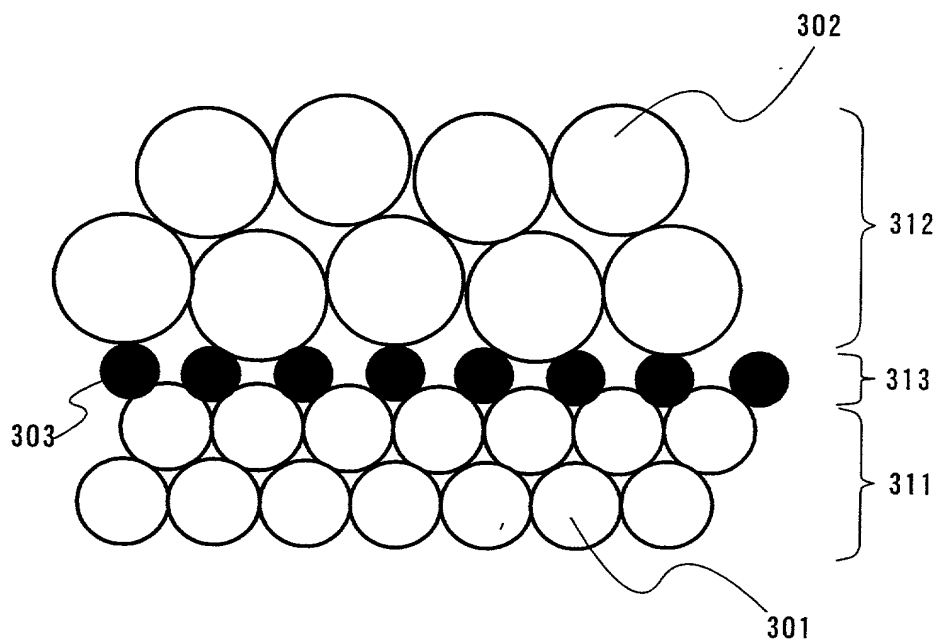
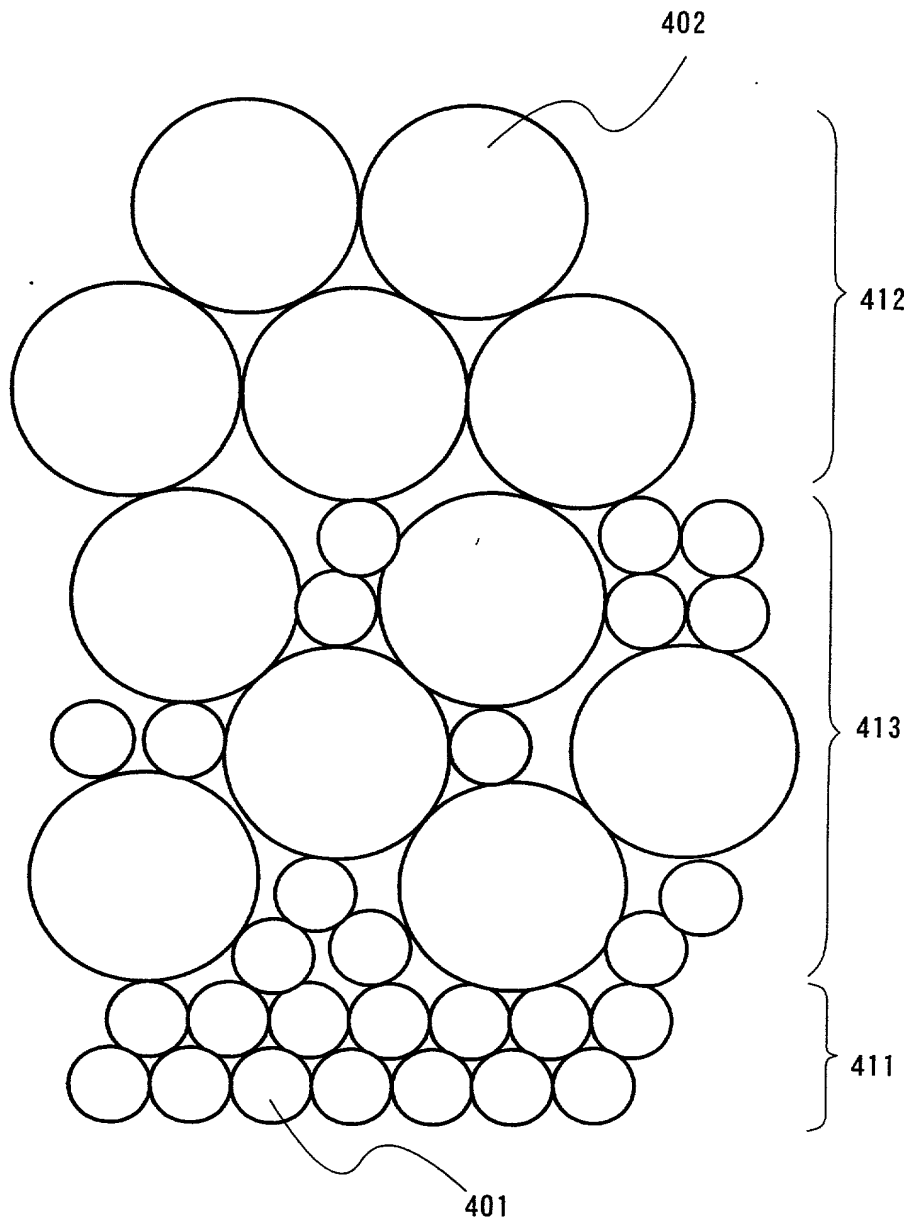


Fig.4



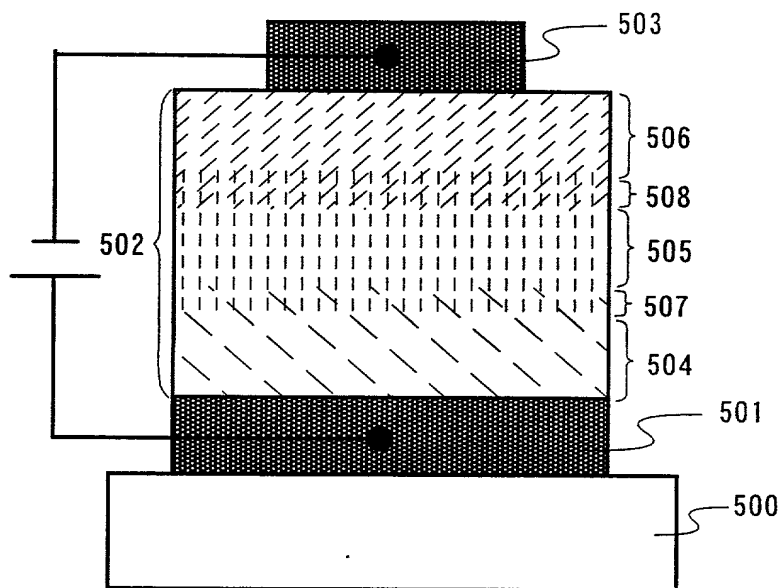


Fig.5A

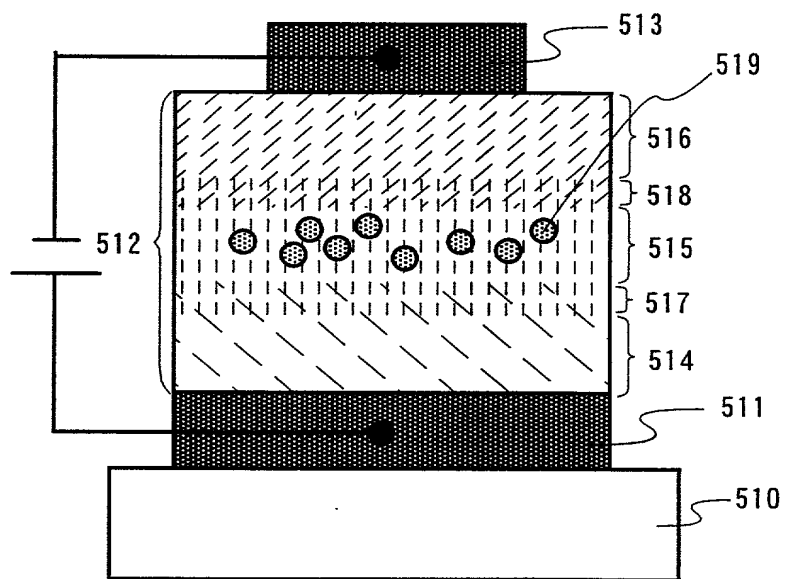


Fig.5B

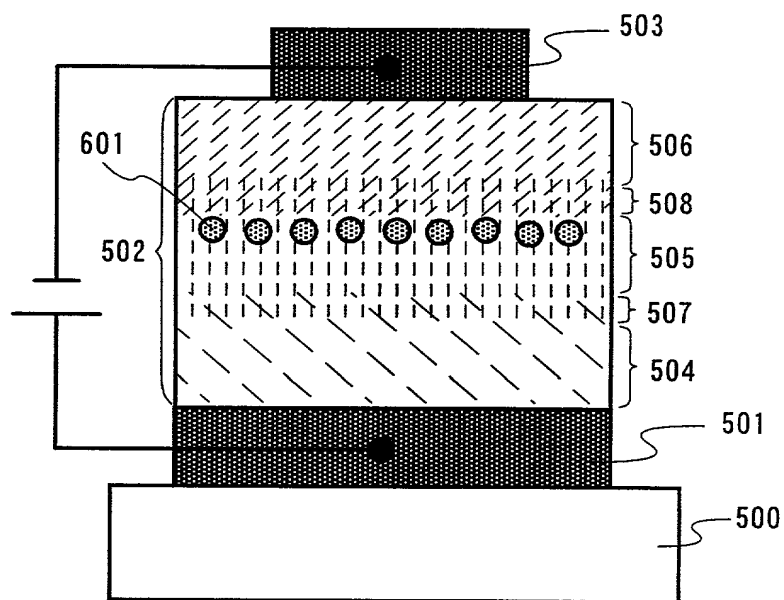


Fig.6A

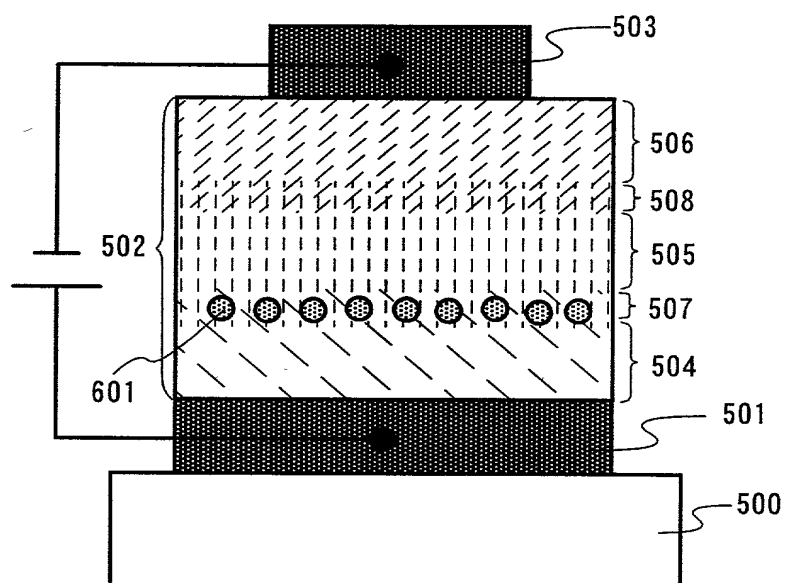
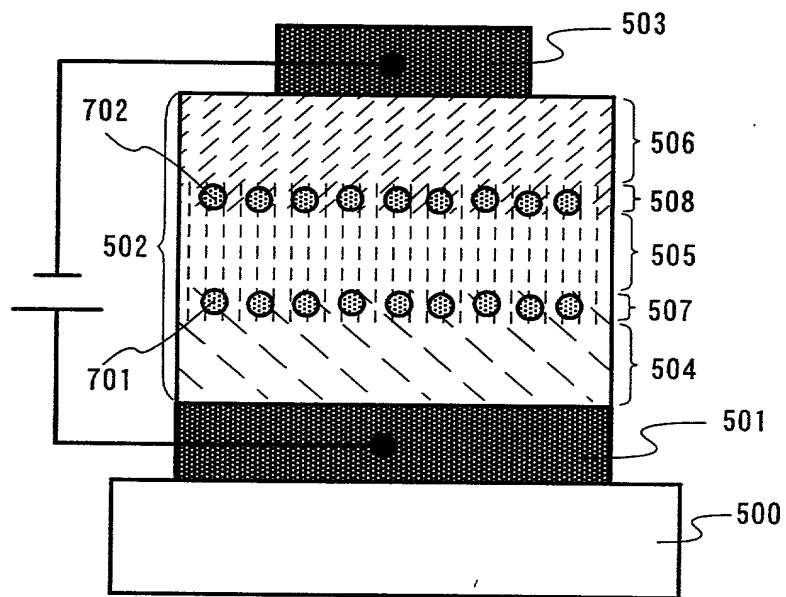


Fig.6B

Fig.7



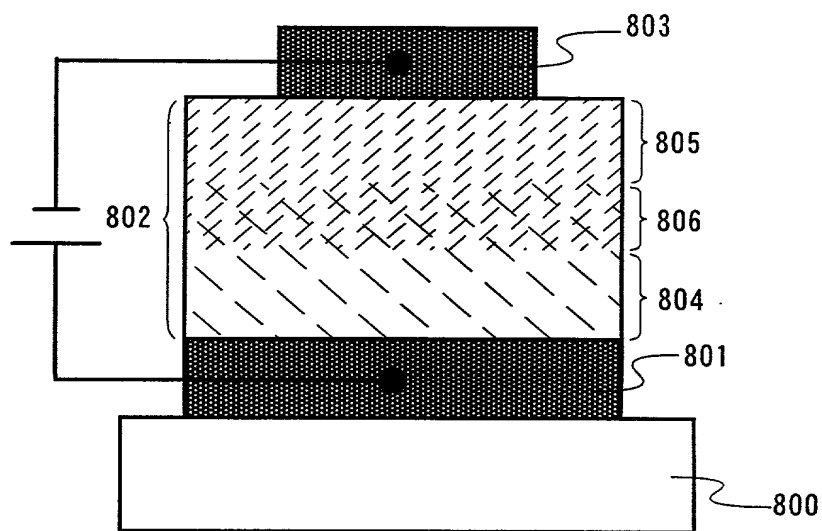


Fig.8A

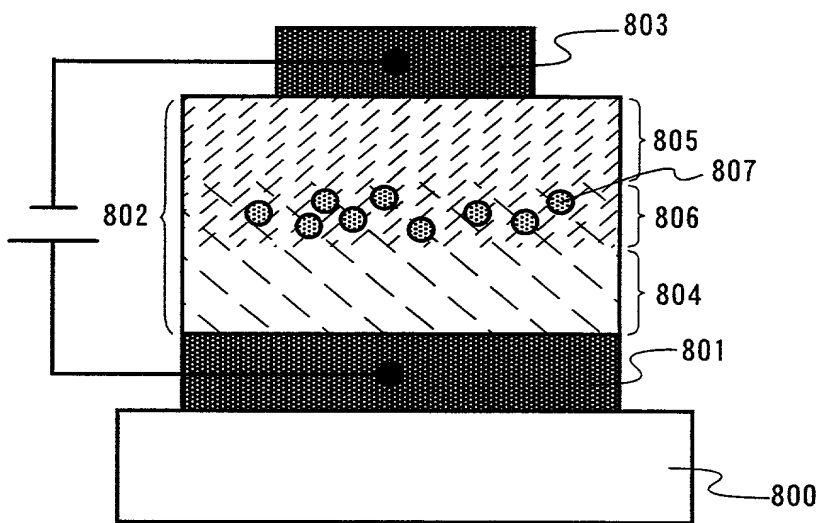


Fig.8B



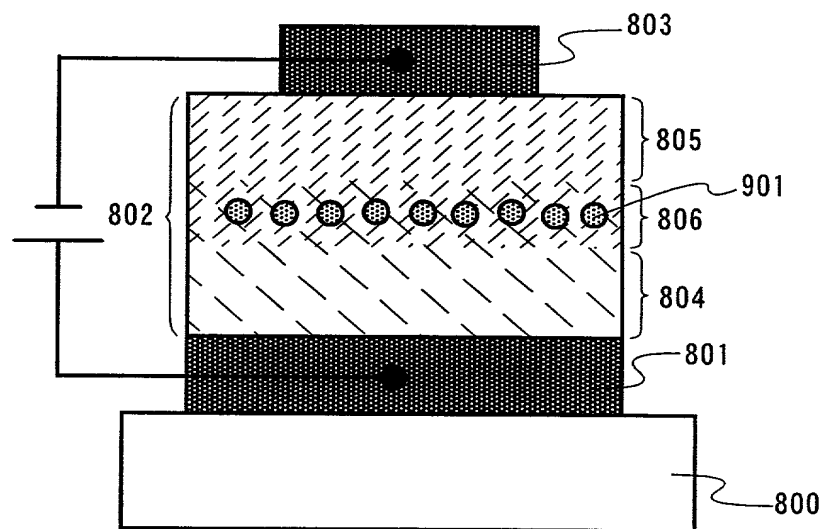


Fig.9A

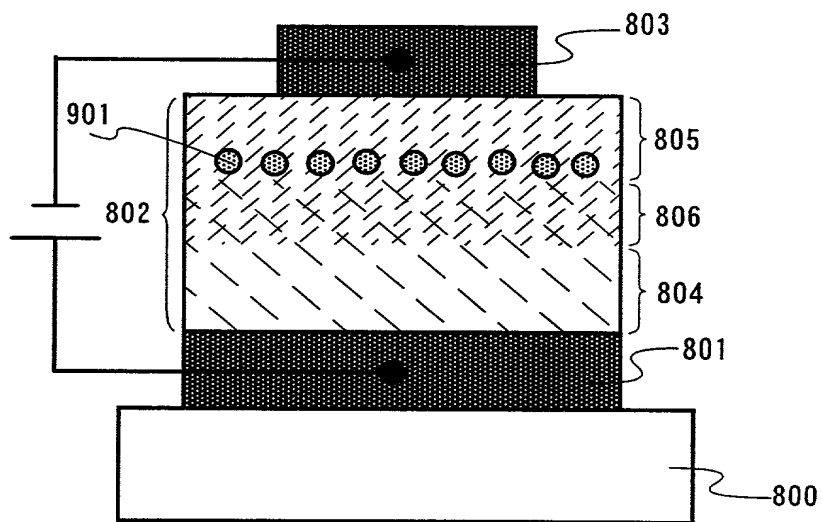
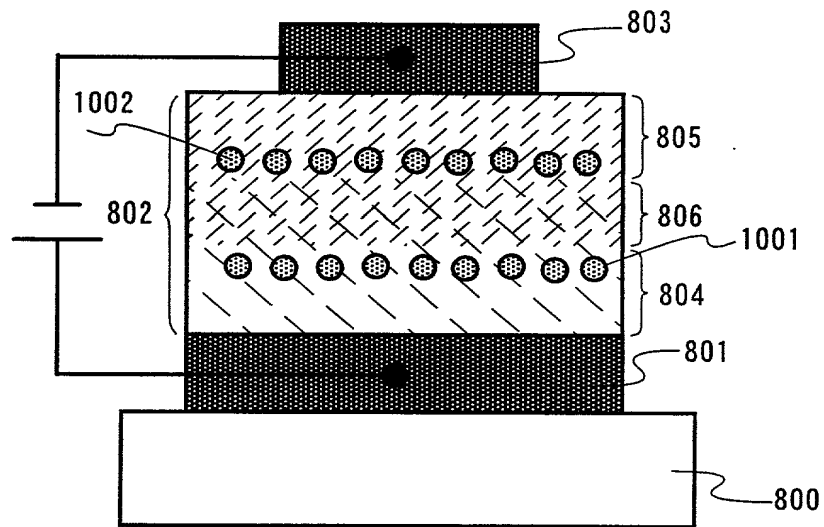


Fig.9B

Fig.10



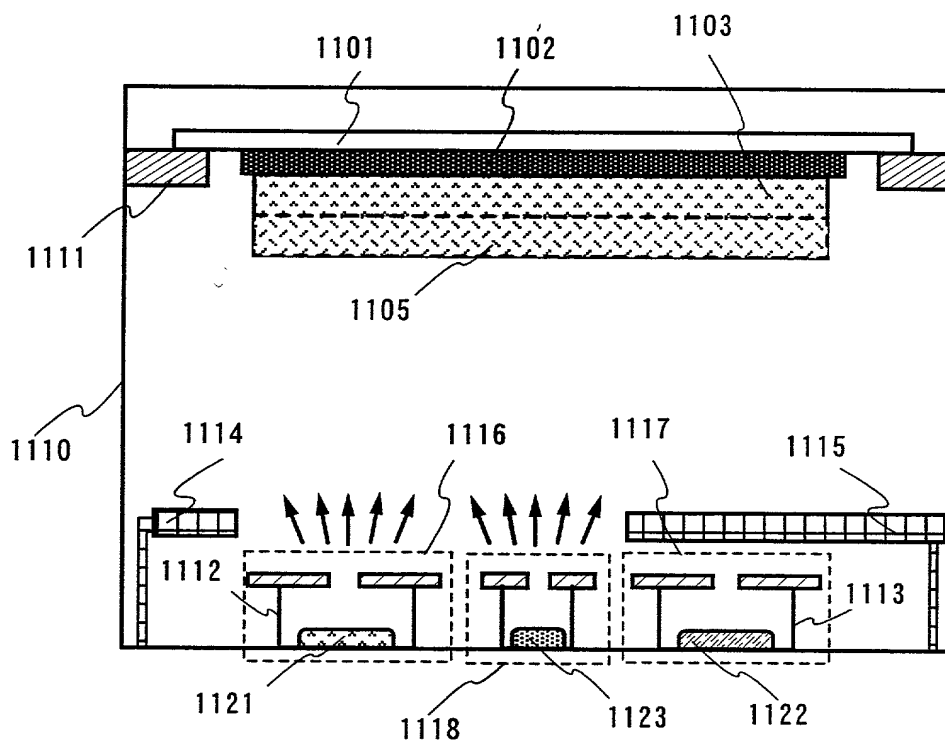
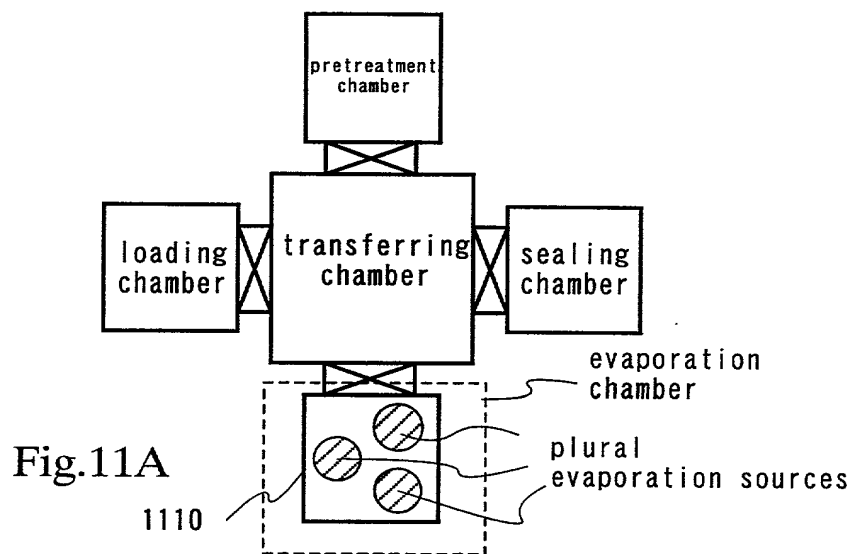


Fig. 11B

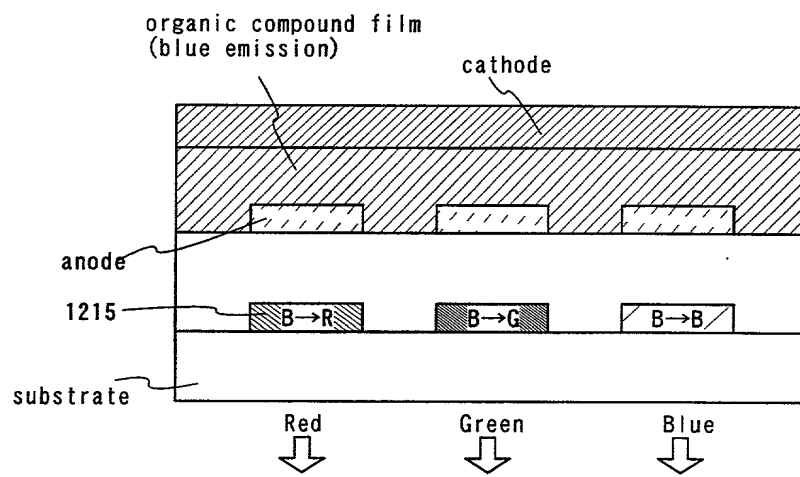


Fig.12A

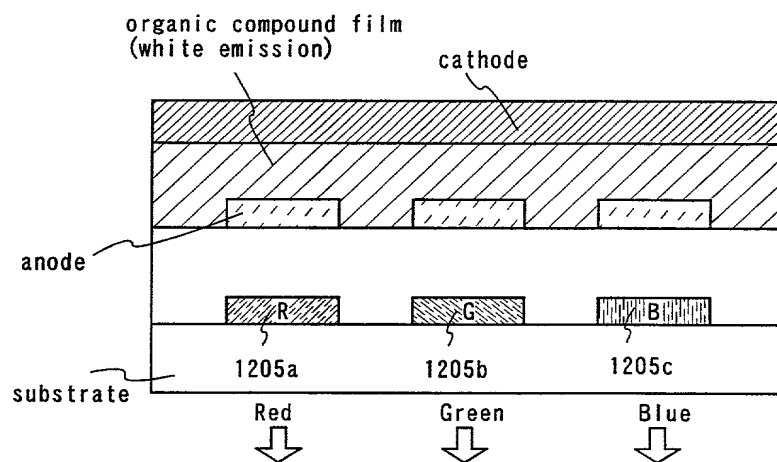


Fig.12B

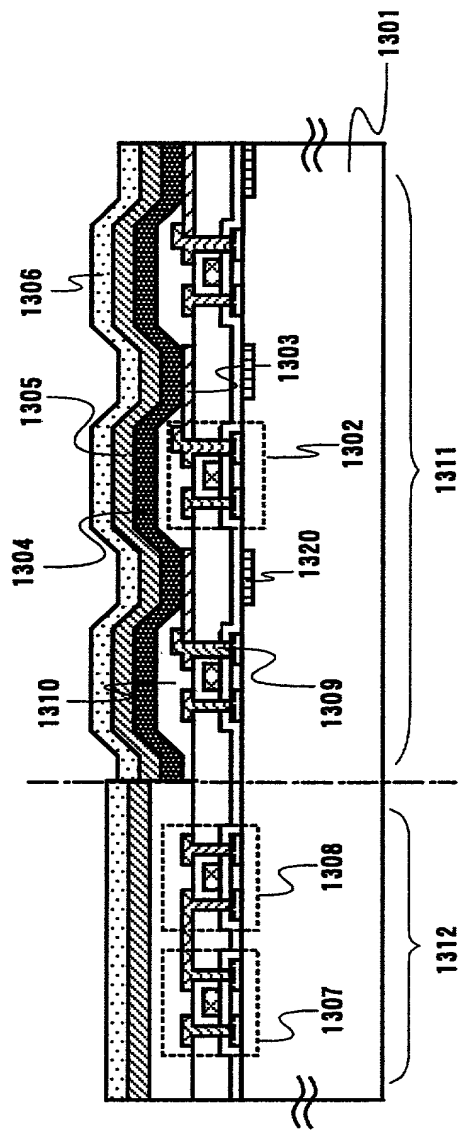


Fig.13A

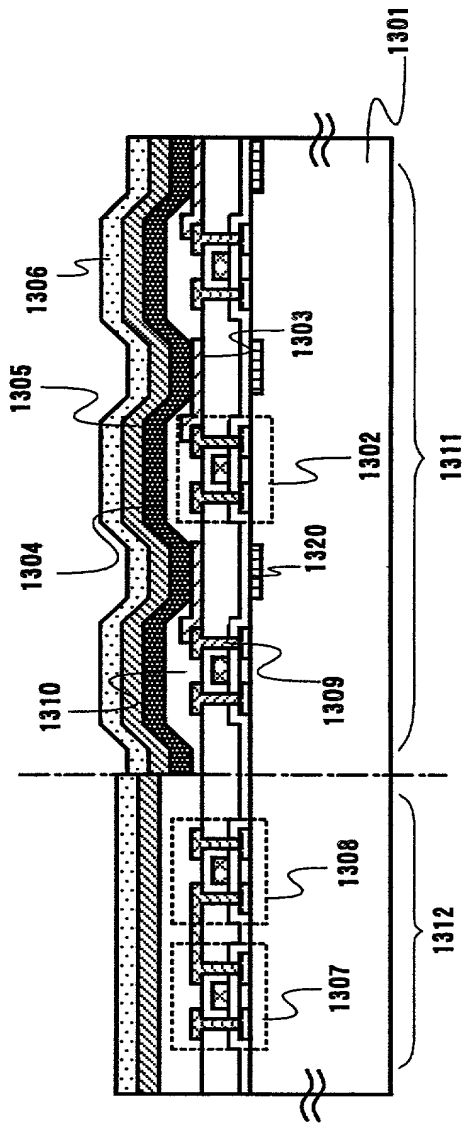
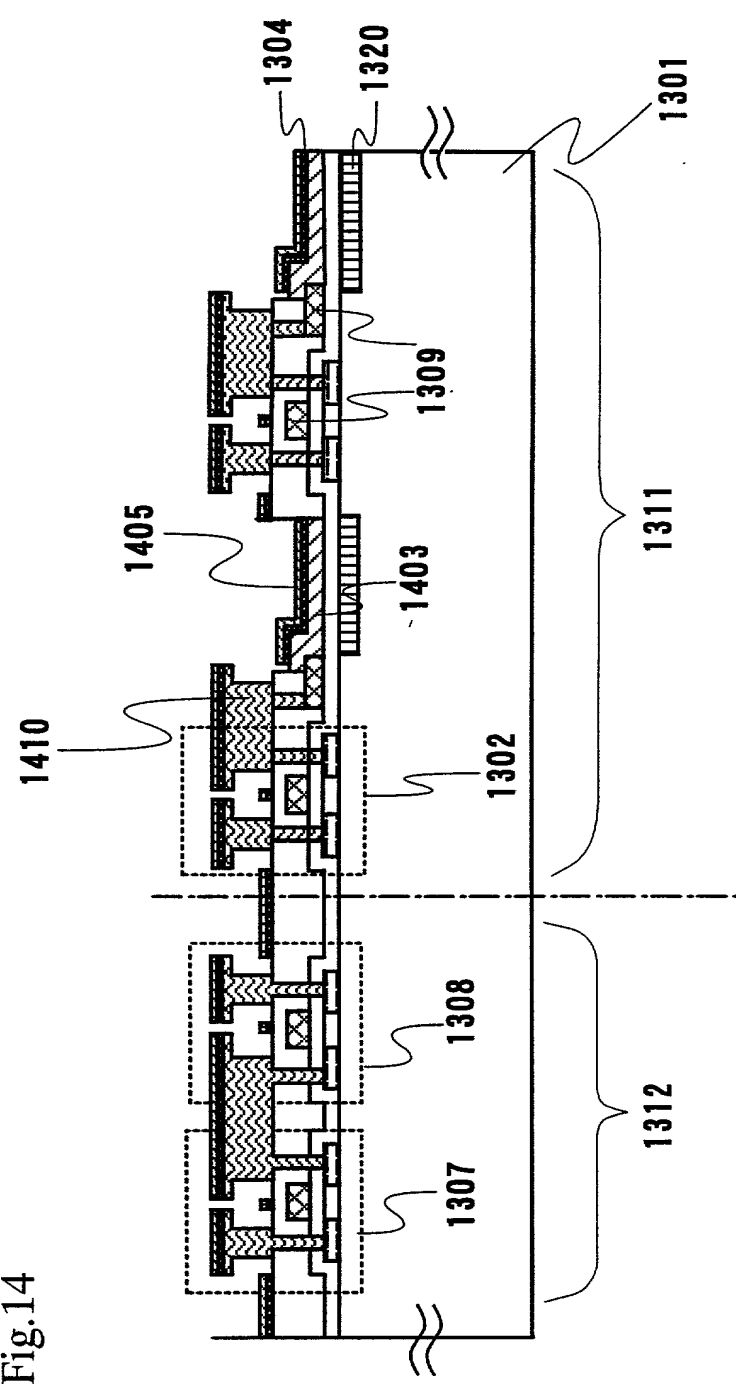


Fig.13B

Fig.14



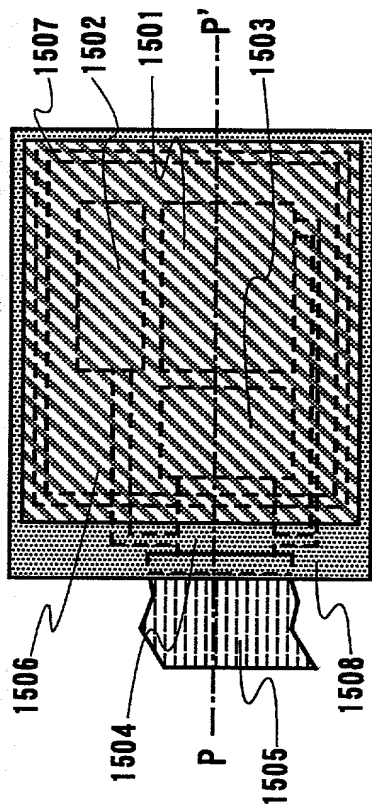


Fig.15A

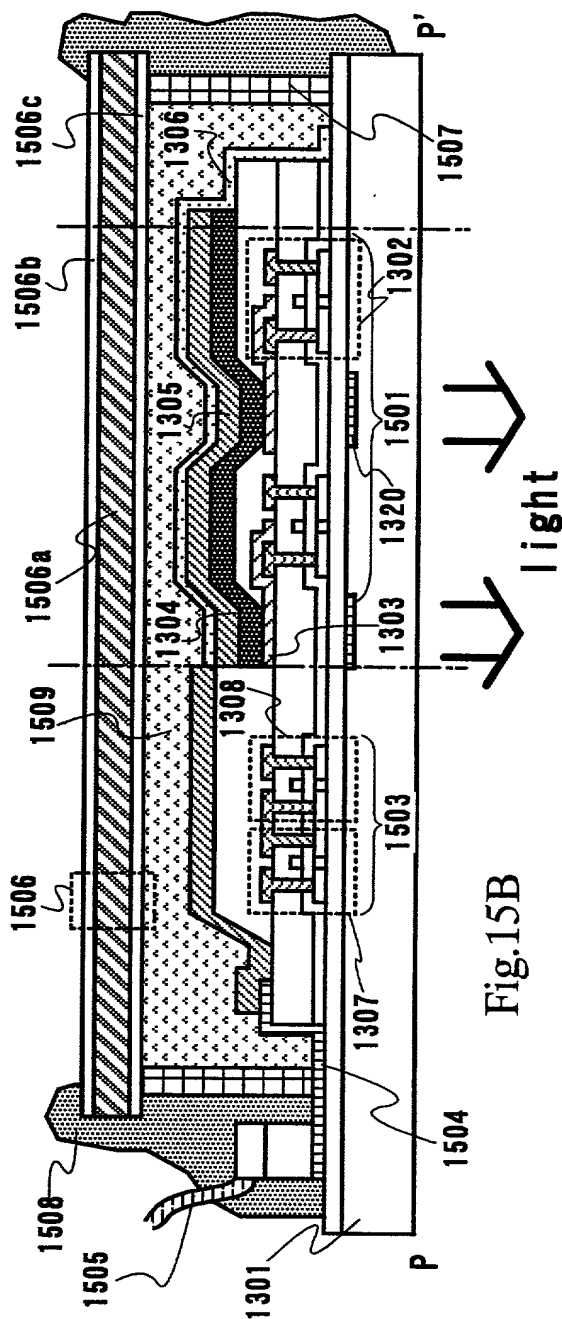
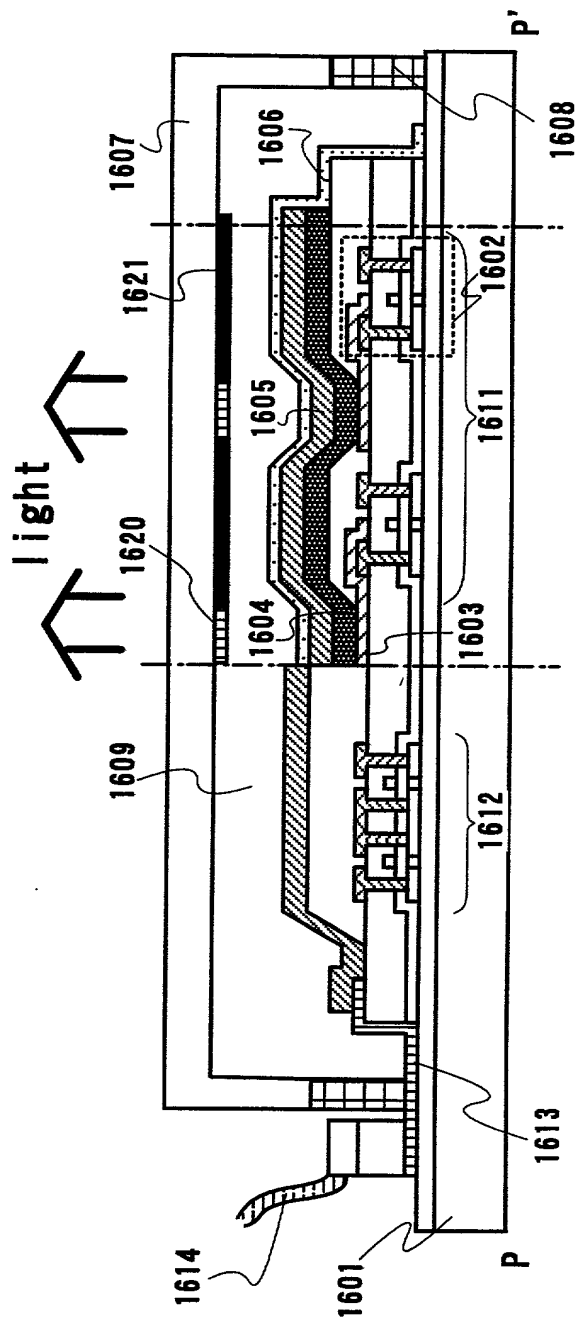


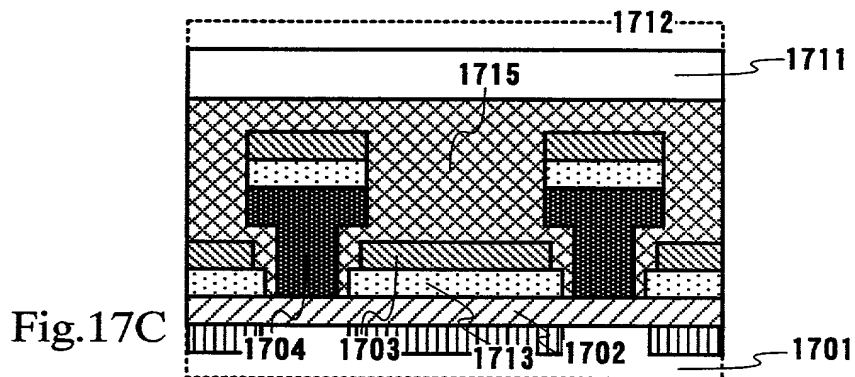
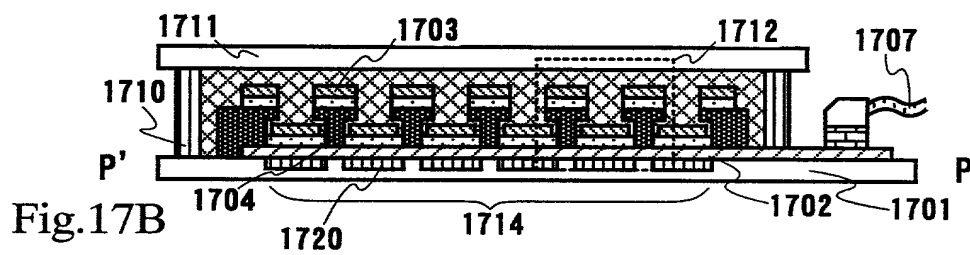
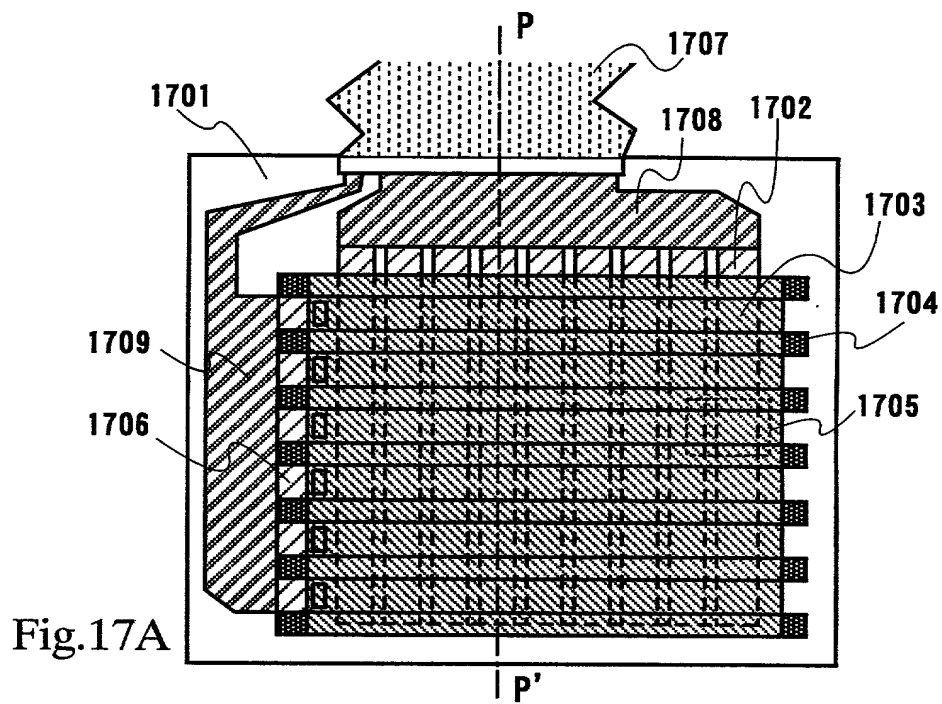
Fig.15B

FIG. 16

Fig.16







www.patent.com

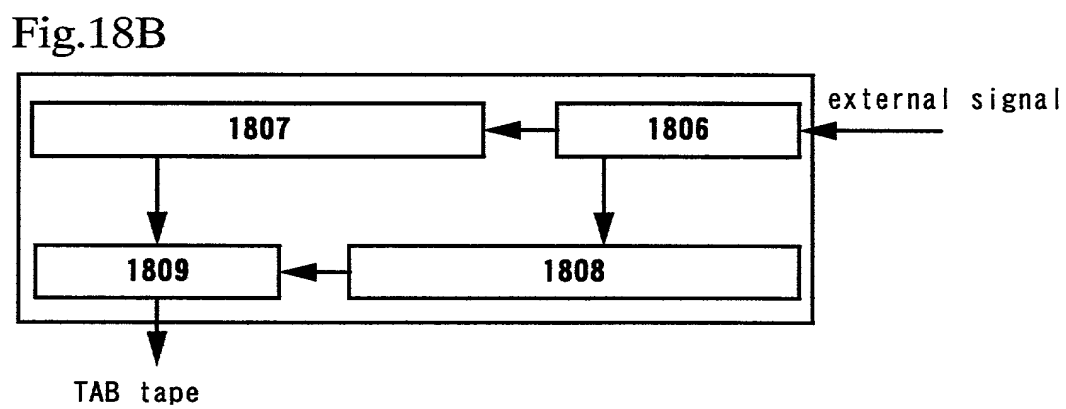
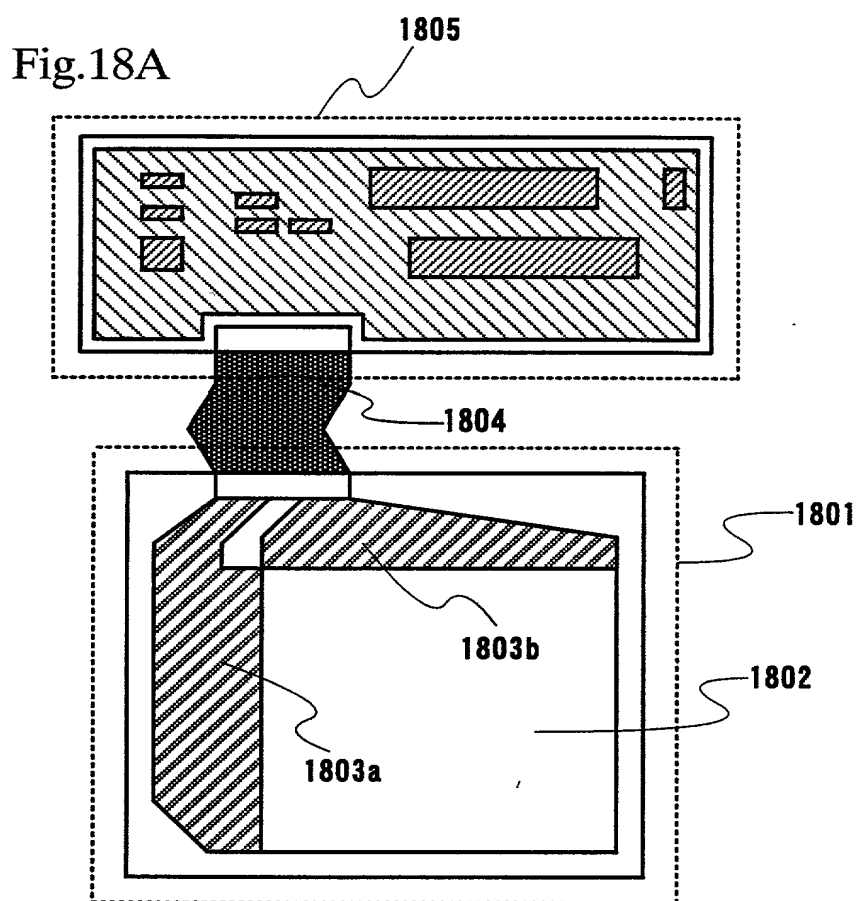


Fig.19A

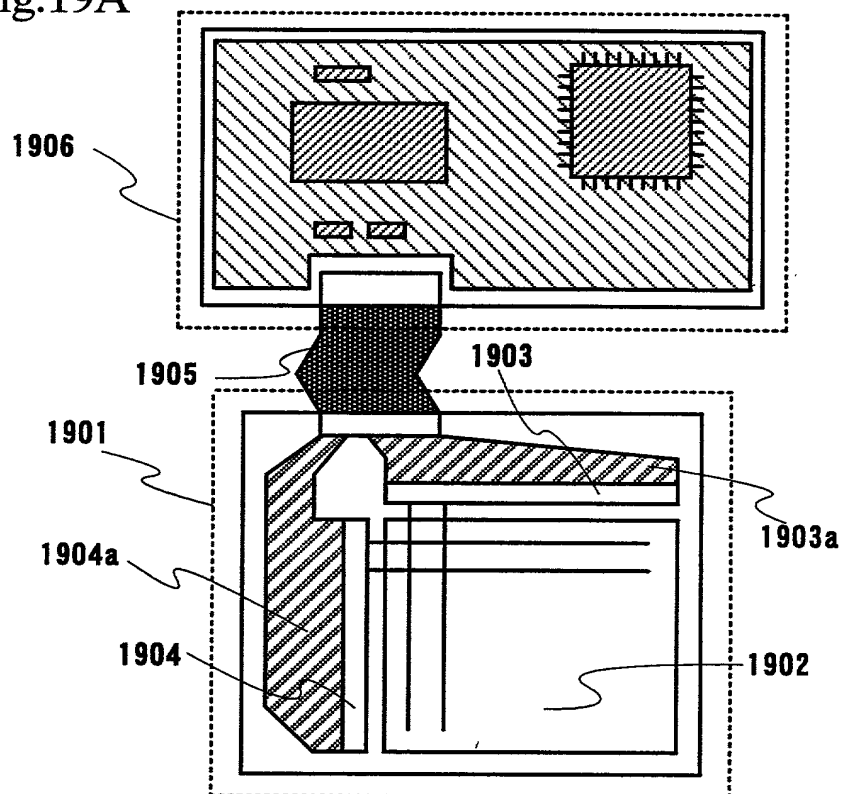
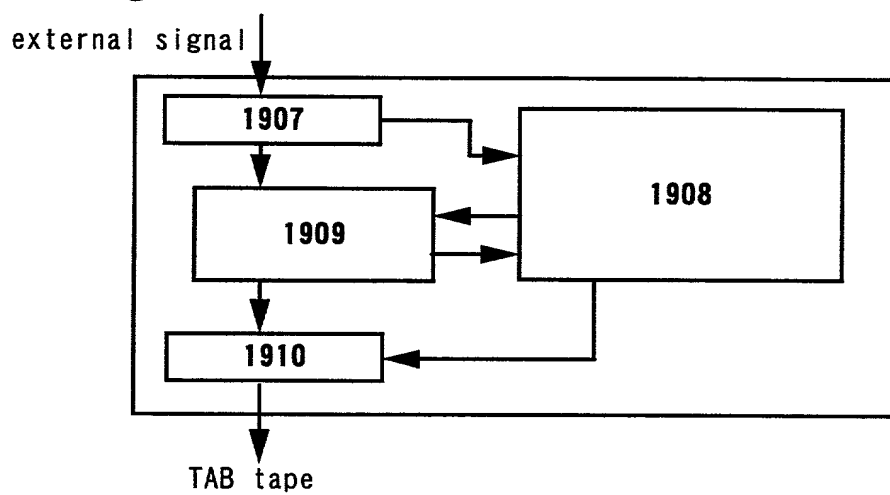
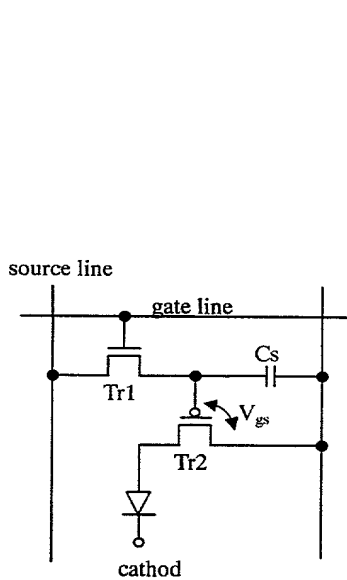
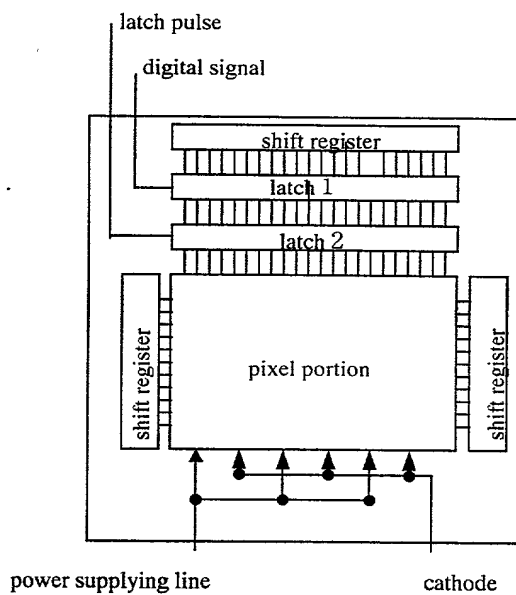


Fig.19B

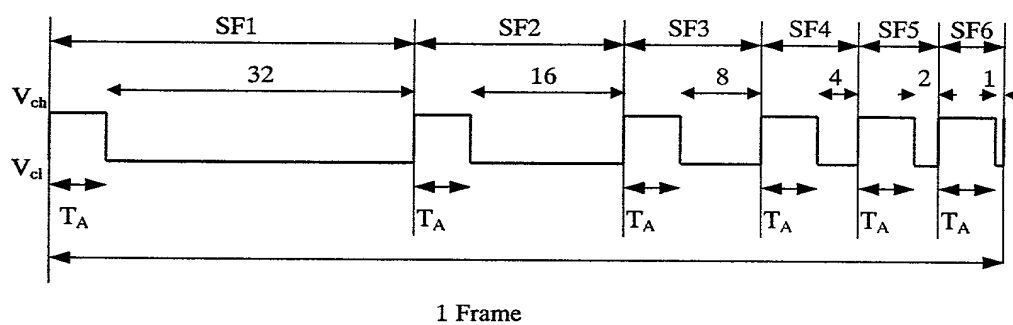




**Fig.20A**



**Fig.20B**



SF1-SF6:sub-frame,  $T_A$ : write in time

**Fig.20C**

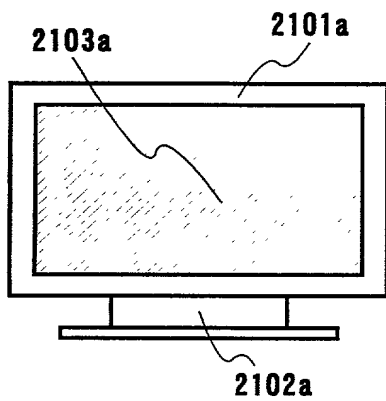


Fig.21A

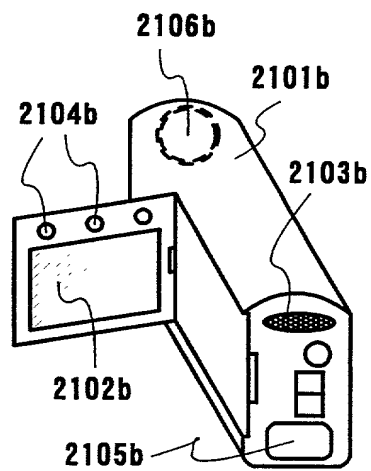


Fig.21B

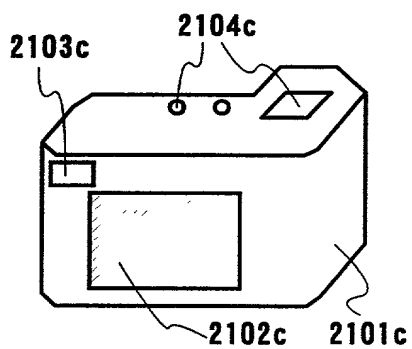


Fig.21C

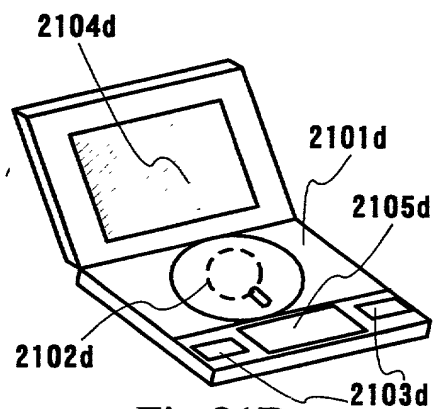


Fig.21D

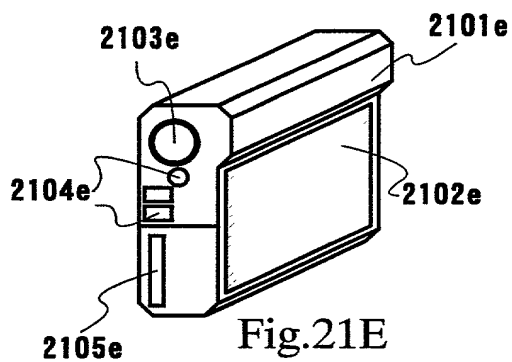


Fig.21E

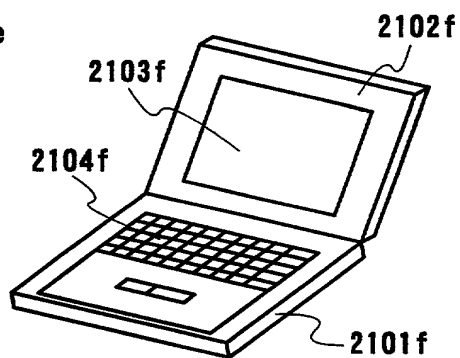
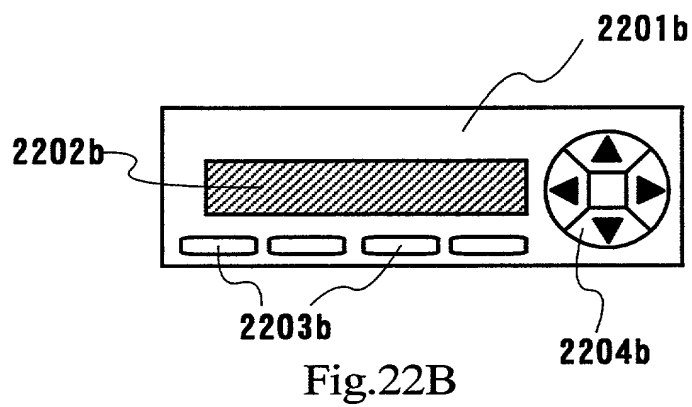
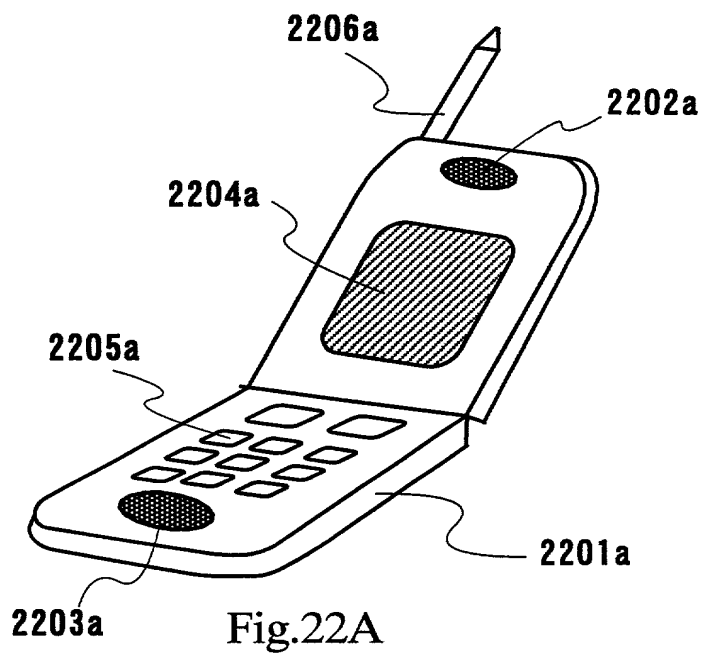


Fig.21F



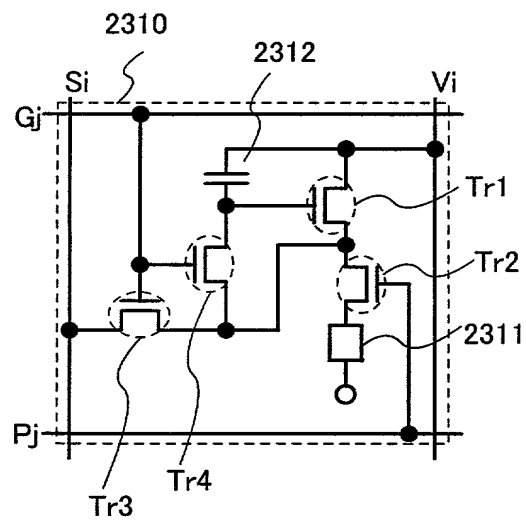


Fig.23

Fig.24

